

# 多主桁合成桁橋における構造要素間の相互作用に関する研究

東京大学工学部 奥村敏惠  
研究生○佐藤政勝

## 1. まえがき

道路橋床版の大部分を占める鉄筋コンクリート床版において、近年破損の事例がみられるようになり、その補修、補強対策が検討される一方、破損原因の追求から、旧示方書にもとづいて設計した鉄筋コンクリート床版に関して、その床版厚の不足、配力鍵筋量の不足、鉄筋の引張許容応力度の過大などが指摘され、昨年度の示方書の改訂の際にこれらの不備な点については改正された。

しかしながら、現示方書においても、鉄筋コンクリート床版の設計曲げモーメント式は床版を支持する桁のたわみ差はないといふ仮定のもとに求められたものであり、支持桁のたわみ差により鉄筋コンクリート床版に生じる曲げモーメントは一般には考慮されていない。都市部や自動車専用道路に用いられている多主桁合成桁橋においては、交通状態によっては偏載荷重がきびしくなり、主桁のたわみにより鉄筋コンクリート床版に生じる橋軸直角方向の曲げモーメント（以下、床版の付加曲げモーメントと呼ぶ）が大きくなることが予想され、鉄筋コンクリート床版破損の一因とも考えられる。

本論文は、多主桁合成桁橋を曲げ作用を考慮した鉄筋コンクリート床版と並列多主桁から成る構造物として応力解析を行ない、鉄筋コンクリート床版の剛度、主桁の剛度、間隔および本数と付加曲げモーメントの相関性を求め、更に横桁、対傾構、横構を考慮した応力解析および横桁と主桁との連結部における剛度の低下を考慮した応力解析により、これらの部材の構造要素間の力学的な協力作用を明確にし、この解析結果と道路橋示方書の合成桁設計指針との検討を行ったものである。

## 2. 理論解析

### (1) 単純多主桁合成桁橋の応力解析

変位関数を面内変形に対して一次式で、曲げ変形に対して三次式で仮定すると板ひ要素の変位は次の様になる

$$w(z, s) = \left(1 - \frac{s}{b_{ij}}\right) w_i(z) + \frac{s}{b_{ij}} w_j(z)$$

$$u(z, s) = \left(1 - \frac{s}{b_{ij}}\right) u_i(z) + \frac{s}{b_{ij}} u_j(z)$$

$$v(z, s) = \left(1 - \frac{3}{b_{ij}} s^2 + \frac{2}{b_{ij}} s^3\right) v_i(z) + \left(s - \frac{2}{b_{ij}} s^2 + \frac{1}{b_{ij}} s^3\right) v_j(z) \\ + \left(\frac{3}{b_{ij}} s^2 - \frac{2}{b_{ij}} s^3\right) \theta_i(z) + \left(-\frac{1}{b_{ij}} s^2 + \frac{1}{b_{ij}} s^3\right) \theta_j(z)$$

ここで、 $b_{ij}$ は要素ひの板幅を示す

変位関数は変数分離されているから、Galerkin法によれば  $s$  が消去され節線変位と節線外力の関係式が連立常微分方程式の形で導き出される。

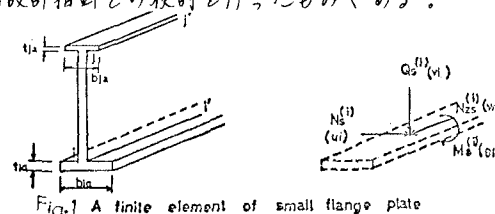


Fig. 1 A finite element of small flange plate

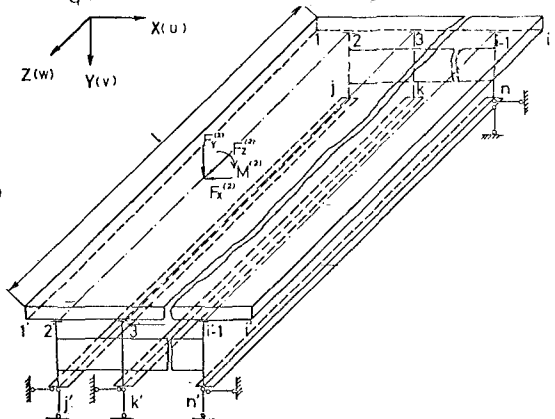


Fig. 2 Model of composite beam with multi girder

等方性、等板厚の要素に対する剛性マトリックスが文献(2)に示されている。

Fig. 1 に示すようなフランジを持つ鋼主桁に対してはフランジを棒材として、面積を積点に置き換えて、鋼主桁要素の剛性マトリックスを誘導し、鉄筋コンクリート床版に対しては、主鉄筋量と配力鉄筋量が等しいものとし鉄筋量による剛性の増加を考慮した等方性版、等板厚を仮定して、要素の剛性マトリックスを誘導した。

Fig.2 に示すような单纯多主筋合成桁橋の橋端における境界条件を満たすように節線上の点の変位を橋軸方向に対しては  $\cos$  のフーリエ級数で、鉛直、横方向、回転に対しては  $\sin$  のフーリエ級数で表わす。節線荷重に対しても、同様的な取り扱いを行なうと、各節線上の点の変位と荷重は全体の剛性マトリックス [K] によって結びつけられる。

(2) 橫桁、對傾構、下橫構力學的取扱、)

横断の剛性マトリックスは横桁を平面ラーメンの部材要素として求めることができ、対傾構の剛性マトリックスは、対傾構の面内方向の断面二次モーメントが等しくなるような等価板厚を求め、次にこの等価板厚に対する平板の二次元平面応力問題として求めた。 $[K]$ を横断あるいは対傾構の剛性マトリックス  $[K]$  を前節の多主析合成析橋の剛性マトリックスとすれば、次の関係式が成立する。

$$\{F\} - \{(\bar{K})\{g\}\} = (K)\{g\} \quad \text{より}$$

$$\{F\} = [(\mathbb{K}) + (\bar{\mathbb{K}})] \{g\}$$

上式が横軸あるいは斜傾構の力学的效果を考慮した多主析合成桁橋のマトリックス表現式となる。ここでは、単純多主析合成桁橋の剛性マトリックス( $K$ )は級数表示であり、横軸あるいは斜傾構の剛性マトリックスも級数表示にする必要がある。

開断面薄肉構造物が下横構によって閉じられた箱型を形成するとして、下横構に対して等価な板厚を求め、準開断面構造物として、下横構の力学

$$\left\{ \begin{array}{l} \sum_{i=1}^{(m)} F_{z,i} \cos\left(\frac{m\pi z}{l}\right) \\ \sum_{i=1}^{(m)} F_{x,i} \sin\left(\frac{m\pi z}{l}\right) \\ \sum_{i=1}^{(m)} F_{y,i} \sin\left(\frac{m\pi z}{l}\right) \\ \hline \dots \\ \sum_{i=1}^{(m)} M_n \sin\left(\frac{m\pi z}{l}\right) \end{array} \right\} = [IK] \left\{ \begin{array}{l} \sum_{i=1}^{(m)} W_i \cos\left(\frac{m\pi z}{l}\right) \\ \sum_{i=1}^{(m)} U_i \sin\left(\frac{m\pi z}{l}\right) \\ \sum_{i=1}^{(m)} V_i \sin\left(\frac{m\pi z}{l}\right) \\ \hline \dots \\ \sum_{i=1}^{(m)} \Theta_n \sin\left(\frac{m\pi z}{l}\right) \end{array} \right\}$$

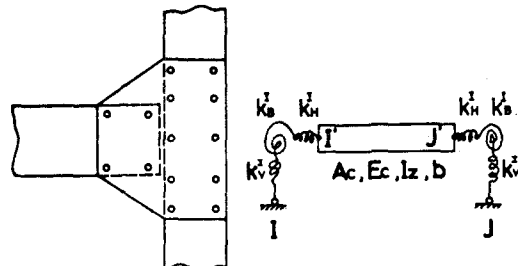


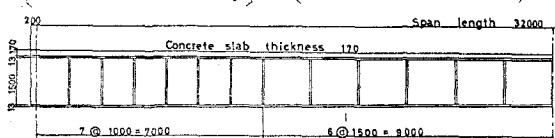
Fig 3 The cross beam with spring model

Table 1  $\bar{K}_{ii}$  Matrix

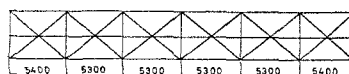
Table 3  $K_{12} = K_{21}$  Matrices

Table 2  $K_{zz}$  Matrix

$$\begin{aligned}
 & \text{A}_{\frac{c}{b}} \text{E}_{\frac{b}{b}} \text{K}_{\frac{b}{b}}^1 0 0 - \frac{\Delta c E_k}{b} 0 0 \\
 & \frac{12E_{\frac{b}{b}}}{b} \text{E}_{\frac{b}{b}} \text{K}_{\frac{b}{b}}^1 0 - \frac{12E_{\frac{b}{b}}}{b} \frac{6E_{\frac{b}{b}}}{b} \\
 & \frac{4E_{\frac{b}{b}}}{b} \text{E}_{\frac{b}{b}}^1 0 - \frac{6E_{\frac{b}{b}}}{b} \frac{2E_{\frac{b}{b}}}{b} \\
 & \text{A}_{\frac{c}{b}} \text{K}_{\frac{b}{b}}^1 0 0 \\
 & \frac{12E_{\frac{b}{b}}}{b} \text{E}_{\frac{b}{b}}^1 - \frac{6E_{\frac{b}{b}}}{b} \\
 & \text{Sym. } - \frac{4E_{\frac{b}{b}}}{b} \text{E}_{\frac{b}{b}}^1
 \end{aligned}$$



(a) Side view of main order



(b) Plane view of lower lateral bracing

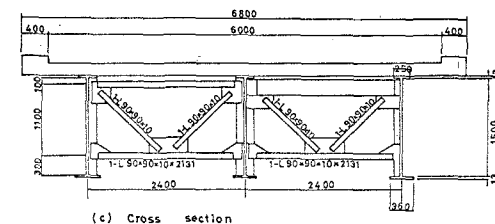


Fig 4 Plane view and cross section of composite beam having  
3- main girders (sample number A41-15-17-240-32)

的効果を取扱っている。横桁と主桁の連結が十分に剛ではなく、連結部において、互いに変位および回転を生じる場合には、連結による剛性の低下を考慮する必要がある。ガセットによる結合をFig.3のようにモデル化すると横桁の剛性マトリックスは次のように表わされる。

$$[\bar{K}] = [\bar{K}_{11} \quad \bar{K}_{12} \quad \bar{K}_{21} \quad \bar{K}_{22}]$$

ここで、 $\bar{K}_{11}$ 、 $\bar{K}_{12}$ 、 $\bar{K}_{21}$  および  $\bar{K}_{22}$  は Table 1～3 に示す。

### 3. 計算結果の検討

#### (1) 床版の剛度、主桁の剛度、間隔および本数と床版の付加曲げモーメントの関係

Fig. 4 に道路橋標準設計図集(2)の分類番号 1-60-32 を参考にして断面を決めた計算例の 3 主桁合成桁橋の寸法を示す。Fig.5 には径間 32 m の 3 主桁合成桁の床版厚さを 12 cm, 17 cm, 22 cm, 27 cm とし、これに対応して主桁間隔を 1.2 m, 2.4 m, 3.6 m として、それぞれ 10 t 集中載荷したときの付加曲げモーメントを示す。Fig.6(a) にはコンクリート床版厚さ 17 cm、主桁間隔 2.40 m として、鋼桁断面二次モーメント  $I_s$  を  $0.62 \times 10^6 \text{ cm}^4$  から  $2.42 \times 10^6 \text{ cm}^4$  までの範囲を変化させた場合の径間中央断面における床版の付加曲げモーメントを示し、Fig.6(b) には 3 主桁合成桁橋の外主桁と内主桁との剛度が異なる場合の外主桁と内主桁との剛度比と床版の付加曲げモーメントの関係を示す。Fig.7 に、Fig.4 の合成桁橋の主桁本数を増加させた多主桁合成桁の径間中央断面の付加曲げモーメントを床版のみの場合と実線で、径間中央に横桁を取り付けた場合を破線で示す。Fig.5, 6 から、床版厚さが増加するほど、主桁間隔が増加するほど、主桁の剛度が低下するほど、また Fig.7 から主桁の本数が増加するほど床版の付加曲げモーメントが大きくなる傾向が見られる。内主桁に対する外主桁の剛度比が大きくなると床版の付加曲げモーメントは大きくなるが、その増加率は内主桁に対する外主桁との剛度比の増加の 15% 程度である。

#### (2) 横桁、対傾構および下横構の剛度と配置が床版の付加曲げモーメントに及ぼす影響

Fig.8(a) には 3 主桁合成桁の径間中央に横桁を取り付けた場合の径間中央の中桁上および外桁上に 10 t 集中載荷したときの径間中央断面の付加曲げモーメントを実線で、載荷桁の荷重分配率を破線で示す。Fig.8(b) には径間 14 点の中桁上と外桁上に 10 t 集中載荷したときの径間 14 点断面の付加曲げモーメントを実線で示す。Fig.8(c) から横桁の格子曲げ剛度が 10 附近で、付加曲げモーメントは床版のみの場合の 1/4 程度に急激に減少し、載荷中桁の荷重分配率もほぼ一定となる傾向が確認され、Fig.8(d) より載荷位置から離れた横桁は曲げ剛度を大きくしても、載荷位置付近に生じる床版の付加曲げモーメントに効果が少ないとことが確認できる。Fig.9 に横桁の間隔を変えたときの載荷位置の床版の付加曲げモーメントを示す。Fig.10 に示す荷重分配率と下横構の等価板厚の関係から対傾構と下横構を設けた場合は非載荷桁の浮き上がりが生じなくなり、載荷桁の荷重分担が少なくなる。Fig.4 に示した下横構の等価板厚 0.037 cm 以上を用いるとほぼ荷重分配率が一定となる傾向がある。Fig.11(a) および (b) には 3 主桁合成桁橋の径間を 8 m から 48 m まで変えた場合の径間中央断面および径間 14 点断面の付加曲げモーメントを示す。Fig.11(c) には 3, 4, 5, 6 主桁合成桁橋に道路橋示方書の下荷重を径間中央に一台又は二台載荷した場合の正の最大付加モーメントを床版のみの場合と実線で、横桁を径間中央に取り付けた場合は破線で示す。ここで一点鎖線は径間中央断面で最も大きな主桁のためみを径間長で割ったものを示す。道路橋示方書による 32 m の活荷重合成桁橋のためみ許容量は径間長の 1/625 である。

#### (3) 横桁と主桁との連結部の剛性が横桁の分配効果に及ぼす影響について

Table 4 Spring's stiffness and distribution of def.

Spring's stiffness	$K_H$	$1.0 \times 10^2$				
$K = dK_0$	$K_V$	$1.0 \times 10^2$				
	$K_B$	$1.0 \times 10^2$				
	$\delta_1$	0.168	0.138	0.168	0.139	0.139
deflection (cm)	$\delta_2$	0.205	0.265	0.206	0.263	0.263
	$\delta_3$	0.168	0.138	0.169	0.139	0.139
distribution	$\phi_1$	0.379	0.490	0.380	0.486	0.486
	$M_E$	0.062	0.191	0.062	0.186	0.186

Fig.12 および Fig.13 には経間中央に横筋を取り付けた3主筋合成桁について、Fig.3 の水平、鉛直、曲げスプリング剛度を横筋全強剛度の  $1.0 \times 10^3 \sim 1.0 \times 10^2$  倍の範囲で変化させた場合の中主筋のたわみ分配率および横筋の曲げモーメントを示す。Fig.14 および Fig.15 には実験<sup>(6)</sup>に用いた3主筋合成桁の中主筋のたわみ分配率、床版の付加曲げモーメントおよび横筋の曲げモーメントを示す。Fig.16 および Fig.17 には Fig.4 に示す3主筋合成桁についての計算結果を示す。ここで、横筋全強剛度 1.0 とは水平荷重に対する  $AEcI_z/6$ 、鉛直荷重に対する  $12EcI_z/6$ 、曲げモーメントに対する  $4EcI_z/6$  を意味する。Table 4 には水平、鉛直、曲げのいずれか一要素だけスプリング剛度比を  $1.0 \times 10^2$  にした場合の各主筋のたわみ、中主筋のたわみの分配率、床版付加曲げモーメントを示す。この表から、横筋の分配効果は結合部の鉛直と曲げのスプリング剛度に大きく影響されることがわかる。著者の実験結果<sup>(6)</sup>から横筋に対する曲げスプリング剛度を逆算すると  $0.52 \times 10^9$  ノード/ラン程度となる。文献<sup>(7)</sup>のウェブのみを高力ボルトで連結した場合の曲げスプリング剛度を実験値より求めると  $0.89 \times 10^8$  ノード/ラン程度となる。

#### 4. 解析結果と道路橋示方書の合成桁設計指針との比較検討

(1) 道路橋示方書、同解説では、横筋は桁の支間が 10m 越える場合には設けなければならぬ、その間隔を 20m を越えてはならないとある。この規定を適用すると経間 10m から 40m の多主筋合成桁に対して横筋は経間中央に 1 本のみ取り付けるとよいが、Fig.8 (d), Fig.11 (d) より明らかのように経間中央の横筋のみでは、経間 1/4 点に集中載荷した場合の載荷位置断面の床版の付加曲げモーメントには効果がないので荷重分配構造たる間隔 20m は拡大するよろ思われる。Fig.9 から横筋間隔を 6.2m にすると経間中央に横筋がある場合の経間中央断面の床版の付加曲げモーメントと同程度となる。格子曲げ剛度が比較的小さいが荷重分配効果をもつ対傾構と格子曲げ剛度が 10 以上の荷重分配横筋を 6m 程度の間隔に交互に配置すると床版の付加曲げモーメントに効果的である。

(2) 道路橋示方書の解説では、荷重横分配横筋を 20m 間隔以内に配置し、現行のたわみ許容量を越えない設計荷重に対して、床版の付加曲げモーメントは設計曲げモーメント(道示 6.1.4)の 15% までを許容するものとしているが、Fig.11 に示されるように、横筋の取り付け位置から離れた断面では床版の設計曲げモーメントの 50% 程度の付加曲げモーメントが予想される。前項(1)の対傾構と横筋の配置を行った場合でも主筋本数および中員が拡大すると、丁一荷重の載荷位置により付加曲げモーメントは大きくなり、中員 12m の 6 主筋合成桁では約 20% となるので、道示 6.1.4 (3) の規定を主筋本数が 6 主筋以上になるような拡中員の合成桁橋についても適用する必要がある。構造的には拡中員の多主筋合成桁橋については上下車線の境界部を連続しないよろにするとい。

(3) 多主筋合成桁橋を格子構造として、荷重分配を計算する場合、横分配効果をもつ対傾構あるいは横筋の全断面の曲げ剛度を考慮していふので、対傾構あるいは横筋と主筋との連結部は部材断面の全強で設計するのが好ましい。この場合は、連結による横筋の剛度の低下はないものと思われる。

#### 5. 文 献

- 奥村敏恵、佐々木貴一、佐藤政勝：鉄筋コンクリート床版の剛度および横筋、横構の多主筋橋

- 2) 岩村敏恵、坂井藤一：薄肉平板より成る立体的構造物の静力学的解析に関する一方法とその応用 土木学会論文報告集 176号(1970)
- 3) 三本木茂夫、吉村信敏：有限要素法による構造解析プログラム、日本鋼構造協会編、培風館
- 4) 田原保二、首掛哲男：米白橋(合成桁)に関する実験的研究、土木研究所報告、昭和29年11月
- 5) C. F. Kollbrunner, K. Basler: Torsion in Structures, Springer-Verlag, 1969
- 6) 佐藤政勝：合成桁の力学的挙動に関する研究、東京大学工学部学位論文、昭和48年3月
- 7) 国広哲男、他2名：床組連結部の応力伝達に関する実験的研究、土木技術資料 13-12

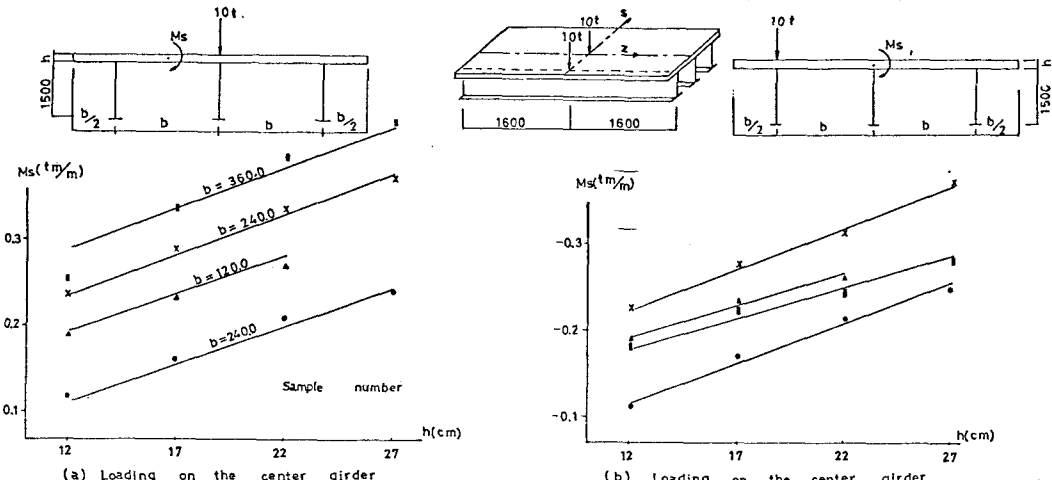


Fig. 5 The additional bending moment  $M_s$  of the s direction on the center line

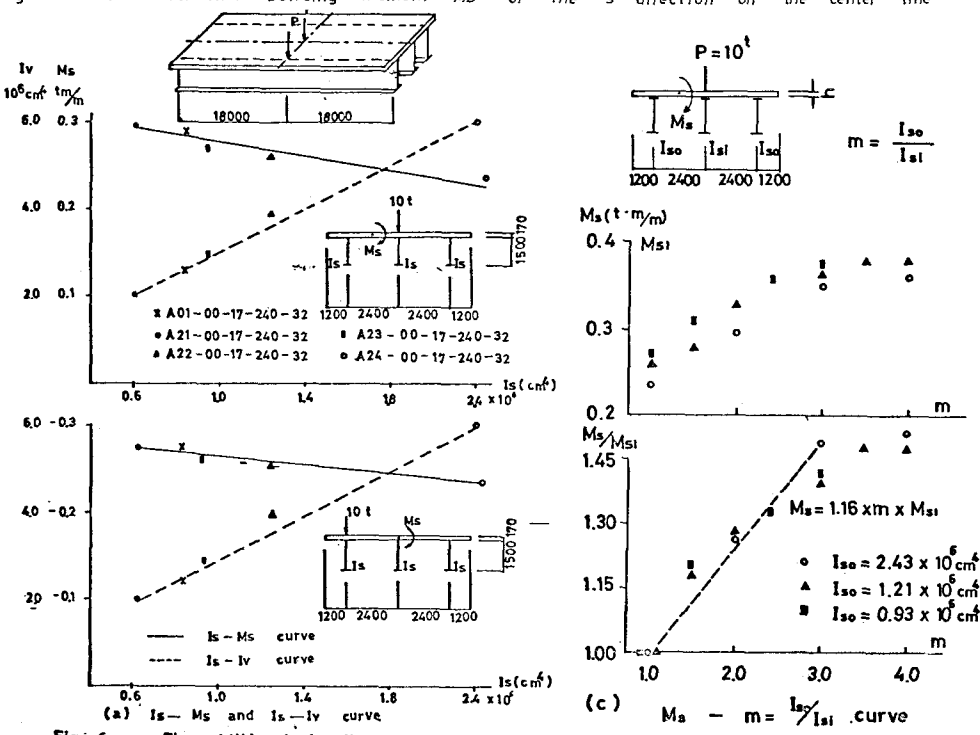


Fig. 6 The additional bending moment  $M_s$  of the s direction on the center line

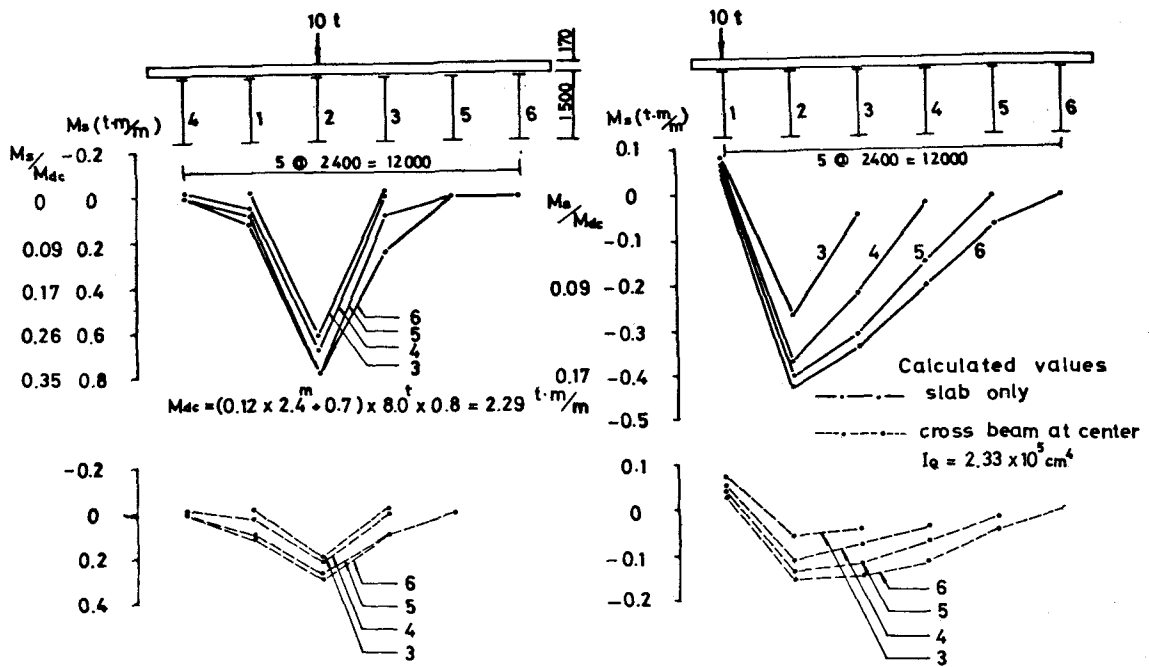


Fig. 7 The additional bending moment of composite beams with multigirder

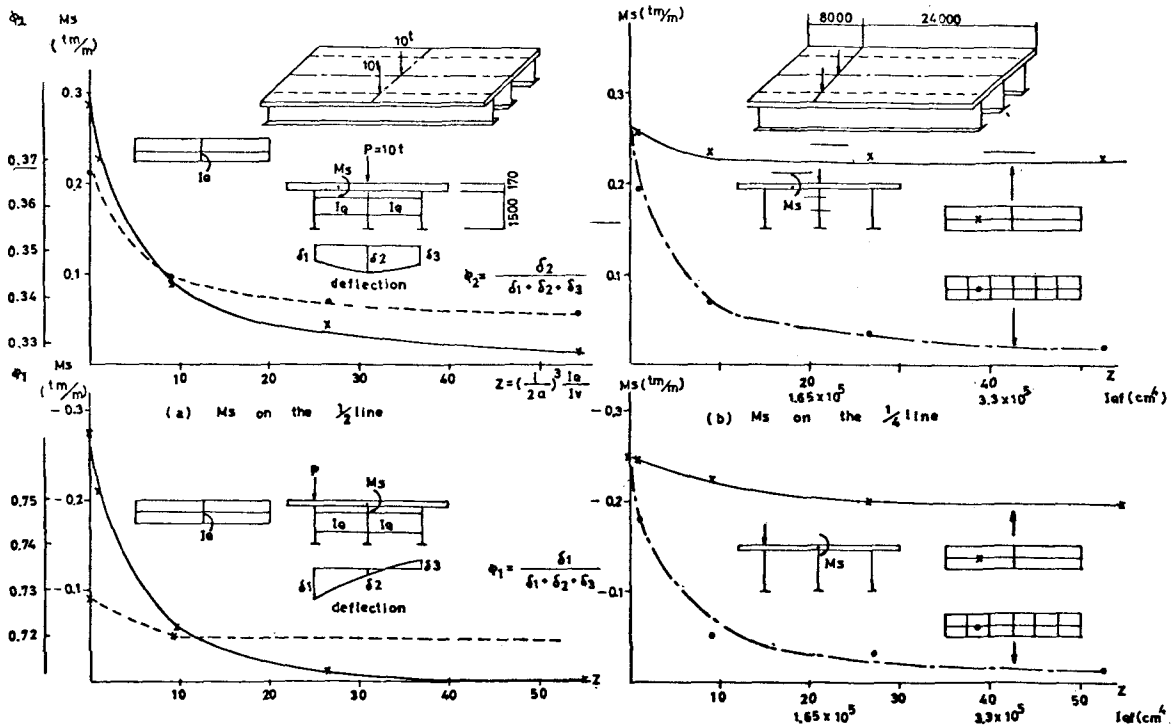


Fig. 8  $Ms-Z$  curve and distribution of total deflection-Z curve

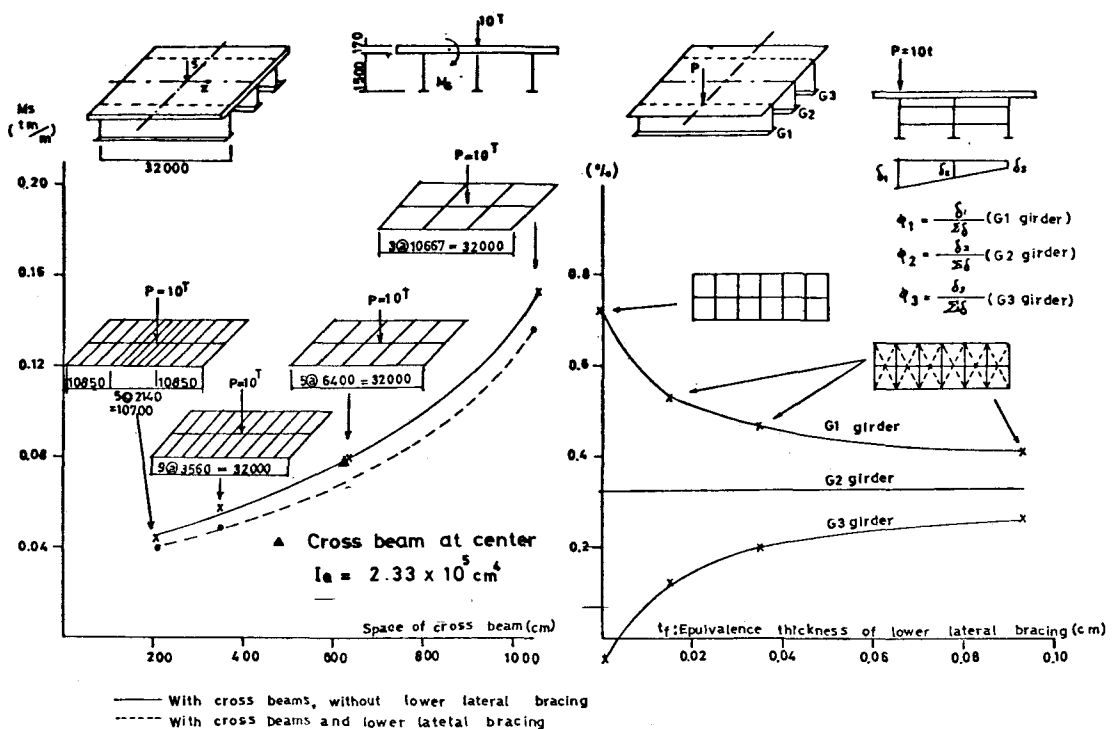


Fig 9 \$M\_s\$ -the space of cross beam curve

Fig 10 \$t\_f\$ - the distribution of deflection curve

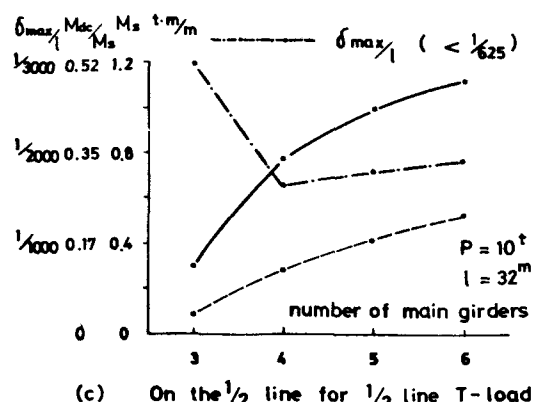
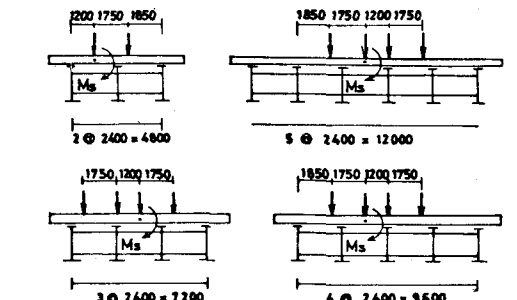
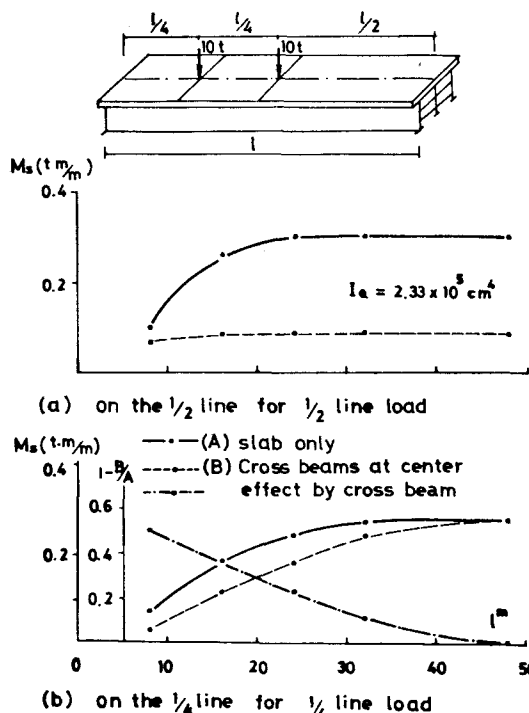


Fig 11 The additional bending moment \$M\_s\$ on the S - direction

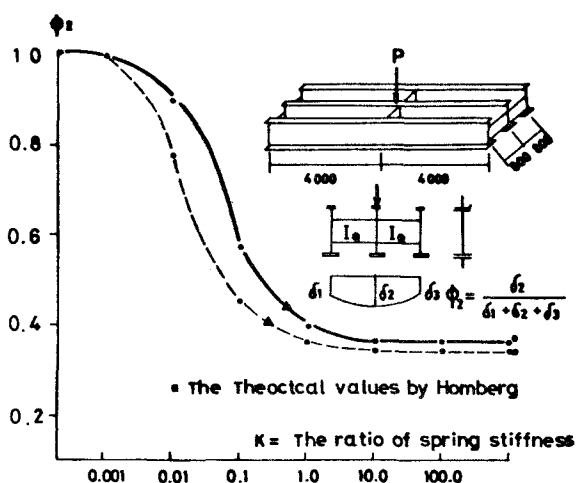


Fig. 12 The distribution of internal main girder

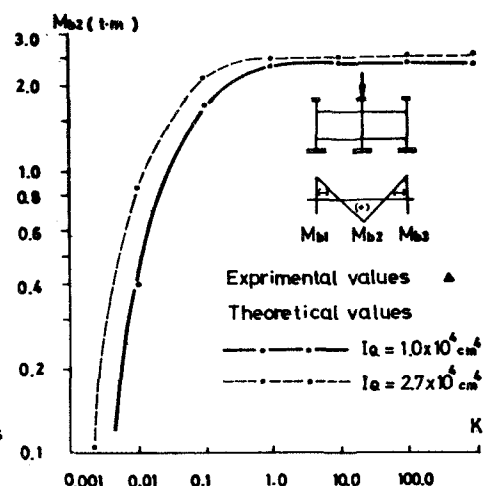


Fig. 13 The bending moment of cross beams

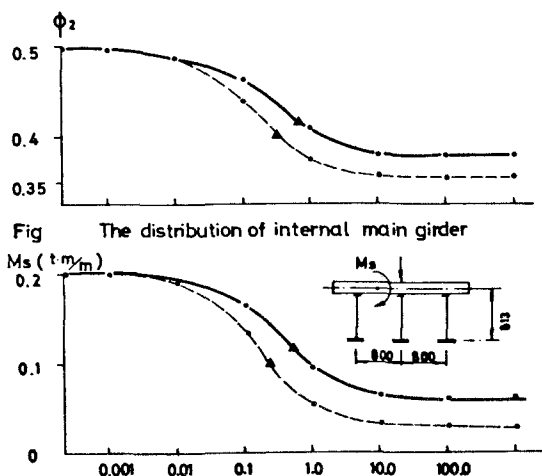


Fig. 14 The additional bending moment  $M_s$

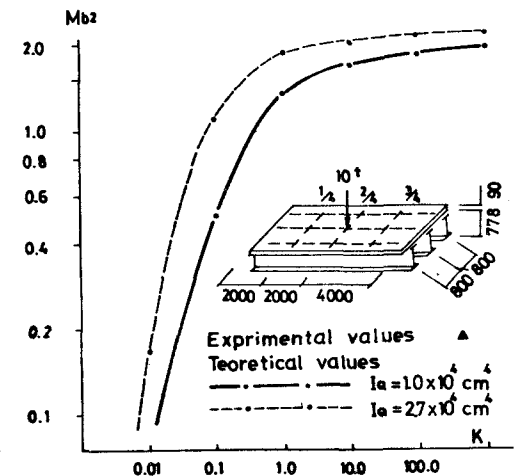


Fig. 15 The bending moment of cross beams

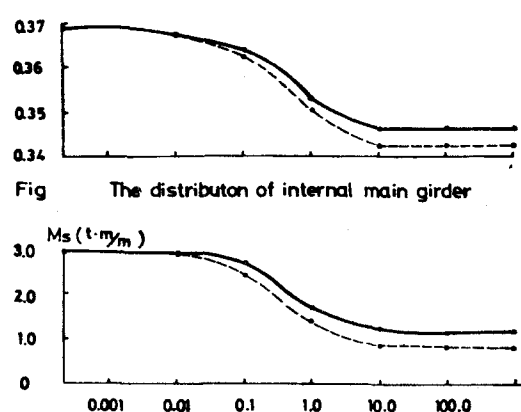


Fig. 16 The additional bending moment  $M_s$

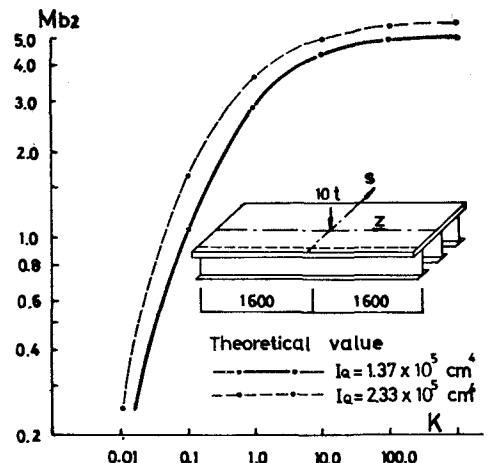


Fig. 17 The bending moment of cross beams